

Ein und Ausgabe: Farbmatisches Drucker-Reflektiv-System ORS20_95, L*=20_95 für relativen CIELAB-Buntton $h^* = lab^*h^* = h_{ab}/360 = 0.451$ $u^*_e = g00b$

Daten für jede Farbe:

lab^*tch^* und lab^*icu^*

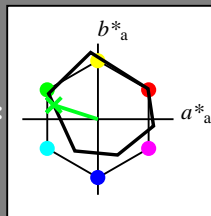
Buntkontexte:

$u^*_e = g00b$ $u^*_d = l12c$

Kontrastreduzierungsfaktor:

$c_R = 1.0$

Dreiecks-Helligkeit i^*



ORS20_95a; adaptierte CIELAB-Daten

| | u^*_e | $L^*=L^*_a$ | a^*_a | b^*_a | $C^*_{ab,a}$ | $h^*_{ab,a}$ |
|-----------------|---------|-------------|---------|---------|--------------|--------------|
| O _{Ma} | 46.89 | 66.19 | 40.28 | 77.48 | 31 | |
| Y _{Ma} | 88.66 | -9.62 | 88.21 | 88.73 | 96 | |
| L _{Ma} | 54.22 | -65.29 | 33.87 | 73.56 | 153 | |
| C _{Ma} | 61.43 | -30.53 | -42.04 | 51.96 | 234 | |
| V _{Ma} | 25.93 | 25.95 | -47.37 | 54.01 | 299 | |
| M _{Ma} | 47.92 | 73.53 | -9.02 | 74.08 | 353 | |
| N _{Ma} | 20.41 | 0.0 | 0.0 | 0.0 | 0 | |
| W _{Ma} | 94.64 | 0.0 | 0.0 | 0.0 | 0 | |
| R _{Ma} | 39.92 | 58.74 | 27.99 | 65.07 | 25 | |
| J _{Ma} | 81.26 | -2.89 | 71.56 | 71.62 | 92 | |
| G _{Ma} | 52.23 | -42.42 | 13.6 | 44.55 | 162 | |
| B _{Ma} | 30.57 | 1.41 | -46.47 | 46.49 | 272 | |

Daten für Maximalfarbe (Ma):

$LAB^*LAB^*_{Ma}$: 56 -58 19

$LAB^*LCH^*_{Ma}$: 56 61 162

$lab^*rgb^*_{Ma}$: 0.0 1.0 0.0

$lab^*olv^*_{Ma}$: 0.0 1.0 0.12

Dreiecks-Helligkeit i^*

%Umfang

$u^*_{rel} = 87$

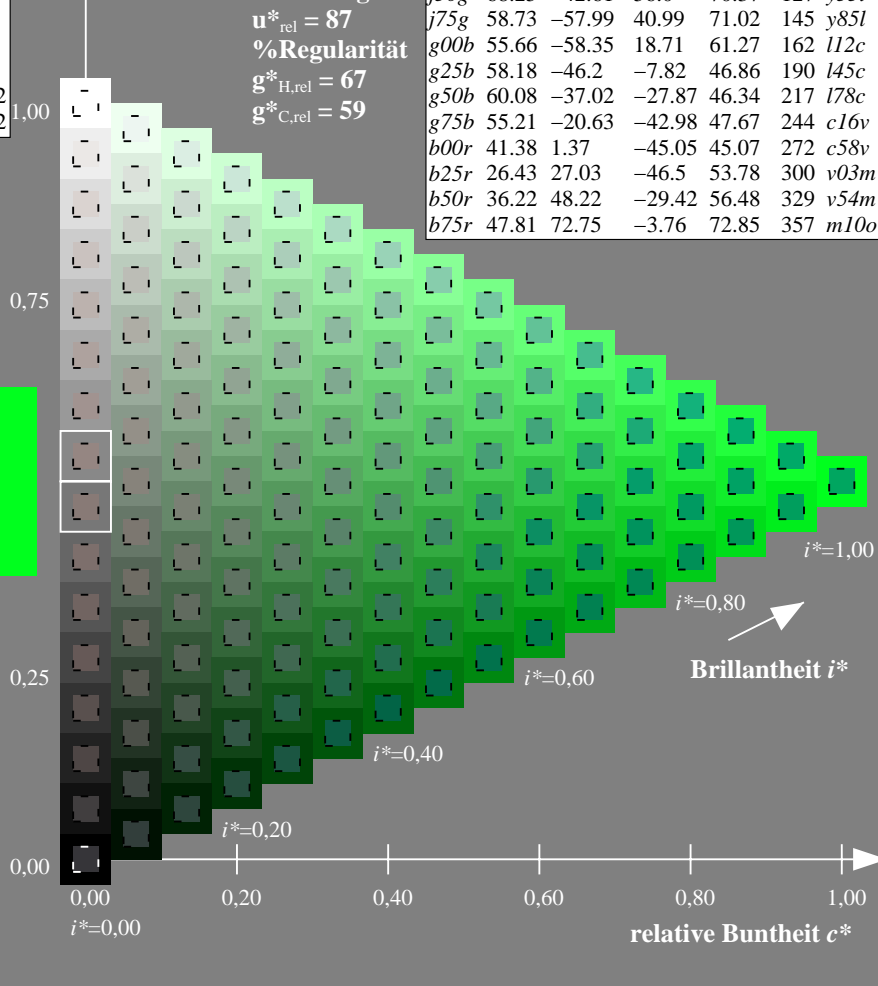
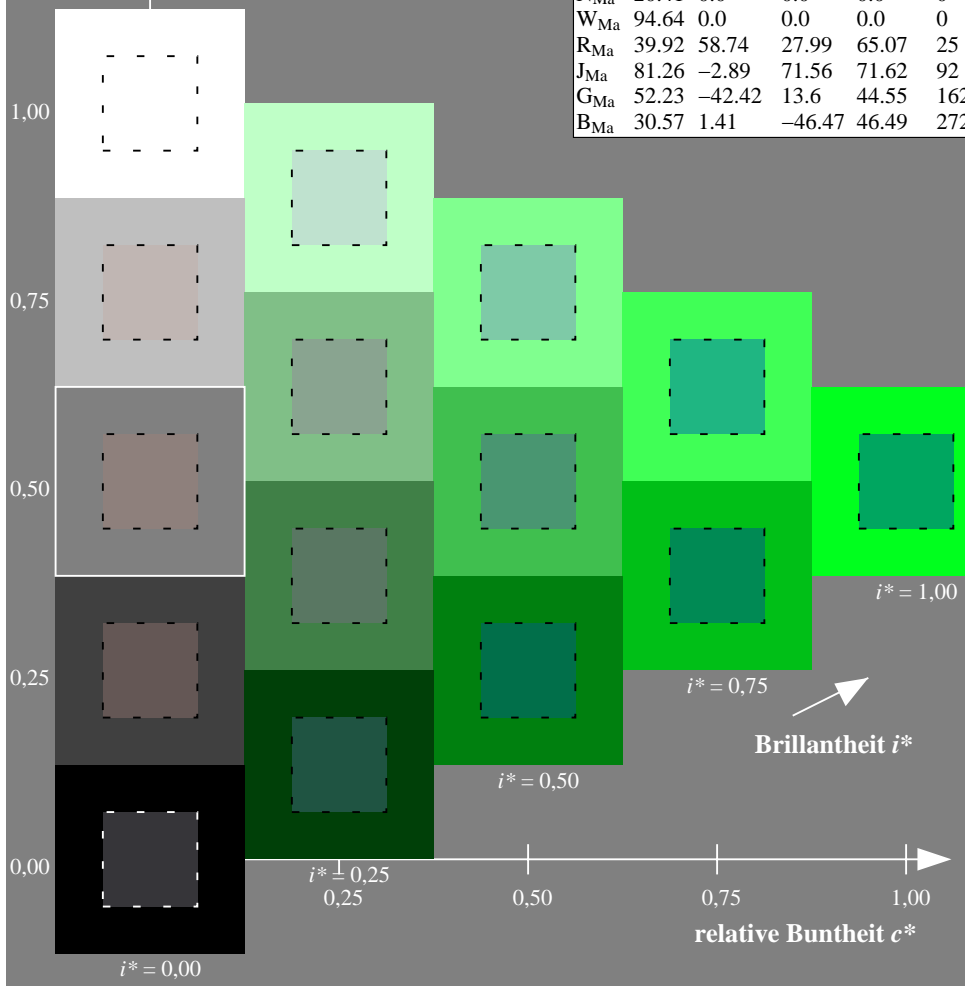
%Regularität

$g^*_{H,rel} = 67$

$g^*_{C,rel} = 59$

ORS20_95a; adaptierte CIELAB-Daten

| | u^*_e | $L^*=L^*_a$ | a^*_a | b^*_a | $C^*_{ab,a}$ | $h^*_{ab,a}$ | u^*_d |
|------|---------|-------------|---------|---------|--------------|--------------|---------|
| r00j | 47.06 | 67.41 | 32.12 | 74.67 | 25 | m84o | |
| r25j | 53.95 | 53.38 | 48.38 | 72.04 | 42 | o17y | |
| r50j | 63.6 | 35.87 | 59.45 | 69.43 | 59 | o42y | |
| r75j | 73.37 | 18.14 | 70.66 | 72.95 | 76 | o68y | |
| j00g | 85.24 | -3.4 | 84.28 | 84.35 | 92 | o93y | |
| j25g | 78.53 | -25.99 | 72.23 | 76.76 | 110 | y24l | |
| j50g | 68.25 | -42.61 | 56.0 | 70.37 | 127 | y55l | |
| j75g | 58.73 | -57.99 | 40.99 | 71.02 | 145 | y85l | |
| g00b | 55.66 | -58.35 | 18.71 | 61.27 | 162 | l12c | |
| g25b | 58.18 | -46.2 | -7.82 | 46.86 | 190 | l45c | |
| g50b | 60.08 | -37.02 | -27.87 | 46.34 | 217 | l78c | |
| g75b | 55.21 | -20.63 | -42.98 | 47.67 | 244 | c16v | |
| b00r | 41.38 | 1.37 | -45.05 | 45.07 | 272 | c58v | |
| b25r | 26.43 | 27.03 | -46.5 | 53.78 | 300 | v03m | |
| b50r | 36.22 | 48.22 | -29.42 | 56.48 | 329 | v54m | |
| b75r | 47.81 | 72.75 | -3.76 | 72.85 | 357 | m10o | |

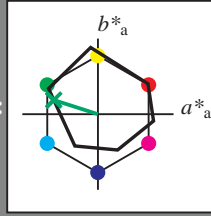


Siehe ähnliche Dateien: <http://www.ps.bam.de/Fg52/>; www.ps.bam.de/Fg.HTM
 Technische Information: <http://www.ps.bam.de/Version.2.1,io=1,1,CIELAB,ColSpX=1>

BAM-Registrierung: 20081001-Fg52/10L/L52g00FP.PDF/ .PS BAM-Material: Code=rh4ta
 Anwendung für Beurteilung und Messung von Drucker- oder Monitorssystemen

Ein und Ausgabe: Farbmatisches Drucker-Reflektiv-System ORS20_95, L*=20_95 für relativen CIELAB-Buntton $h^* = lab^*h^* = h_{ab}/360 = 0.451$ $u^*_e = g00b$

Daten für jede Farbe:
 lab^*ch^* und lab^*icu^*
 Bunttontexte:
 $u^*_e = g00b$ $u^*_d = l12c$
 Kontrastreduzierungsfaktor:
 $c_R = 1.0$
 Dreiecks-Helligkeit i^*



ORS20_95a; adaptierte CIELAB-Daten

| | u^*_e | $L^*=L^*_a$ | a^*_a | b^*_a | $C^*_{ab,a}$ | $h^*_{ab,a}$ |
|-----------------|---------|-------------|---------|---------|--------------|--------------|
| O _{Ma} | 46.89 | 66.19 | 40.28 | 77.48 | 31 | |
| Y _{Ma} | 88.66 | -9.62 | 88.21 | 88.73 | 96 | |
| L _{Ma} | 54.22 | -65.29 | 33.87 | 73.56 | 153 | |
| C _{Ma} | 61.43 | -30.53 | -42.04 | 51.96 | 234 | |
| V _{Ma} | 25.93 | 25.95 | -47.37 | 54.01 | 299 | |
| M _{Ma} | 47.92 | 73.53 | -9.02 | 74.08 | 353 | |
| N _{Ma} | 20.41 | 0.0 | 0.0 | 0.0 | 0 | |
| W _{Ma} | 94.64 | 0.0 | 0.0 | 0.0 | 0 | |
| R _{Ma} | 39.92 | 58.74 | 27.99 | 65.07 | 25 | |
| J _{Ma} | 81.26 | -2.89 | 71.56 | 71.62 | 92 | |
| G _{Ma} | 52.23 | -42.42 | 13.6 | 44.55 | 162 | |
| B _{Ma} | 30.57 | 1.41 | -46.47 | 46.49 | 272 | |

Daten für Maximalfarbe (Ma):

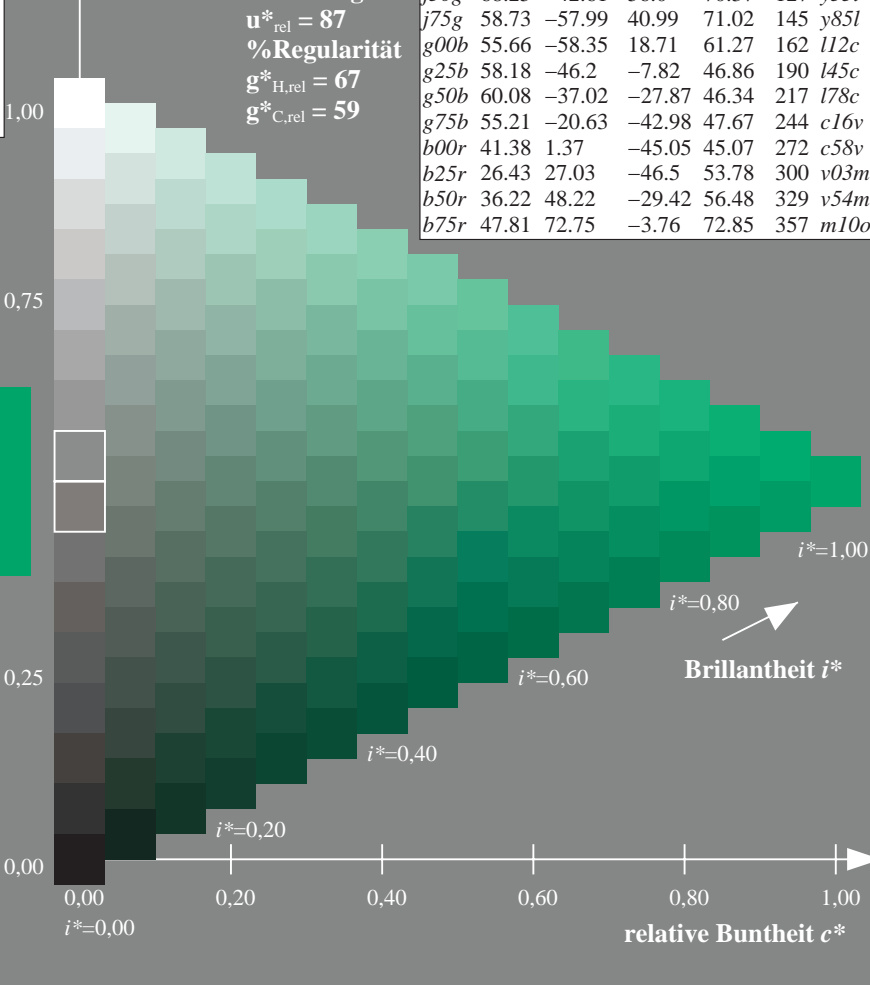
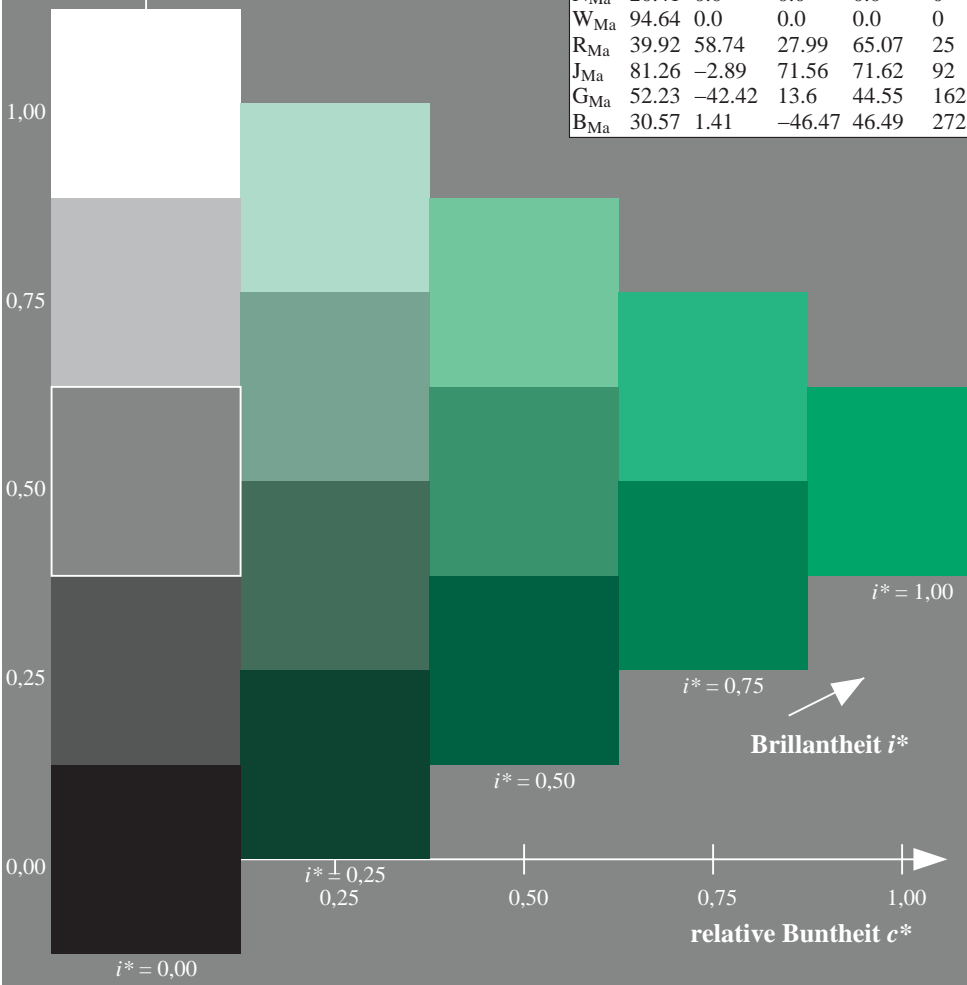
$LAB^*LAB^*_{Ma}$: 56 -58 19
 $LAB^*LCH^*_{Ma}$: 56 61 162
 $lab^*rgb^*_{Ma}$: 0.0 1.0 0.0
 $lab^*olv^*_{Ma}$: 0.0 1.0 0.12

ORS20_95a; adaptierte CIELAB-Daten

| | u^*_e | $L^*=L^*_a$ | a^*_a | b^*_a | $C^*_{ab,a}$ | $h^*_{ab,a}$ | u^*_d |
|------|---------|-------------|---------|---------|--------------|--------------|---------|
| r00j | 47.06 | 67.41 | 32.12 | 74.67 | 25 | m84o | |
| r25j | 53.95 | 53.38 | 48.38 | 72.04 | 42 | o17y | |
| r50j | 63.6 | 35.87 | 59.45 | 69.43 | 59 | o42y | |
| r75j | 73.37 | 18.14 | 70.66 | 72.95 | 76 | o68y | |
| j00g | 85.24 | -3.4 | 84.28 | 84.35 | 92 | o93y | |
| j25g | 78.53 | -25.99 | 72.23 | 76.76 | 110 | y24l | |
| j50g | 68.25 | -42.61 | 56.0 | 70.37 | 127 | y55l | |
| j75g | 58.73 | -57.99 | 40.99 | 71.02 | 145 | y85l | |
| g00b | 55.66 | -58.35 | 18.71 | 61.27 | 162 | l12c | |
| g25b | 58.18 | -46.2 | -7.82 | 46.86 | 190 | l45c | |
| g50b | 60.08 | -37.02 | -27.87 | 46.34 | 217 | l78c | |
| g75b | 55.21 | -20.63 | -42.98 | 47.67 | 244 | c16v | |
| b00r | 41.38 | 1.37 | -45.05 | 45.07 | 272 | c58v | |
| b25r | 26.43 | 27.03 | -46.5 | 53.78 | 300 | v03m | |
| b50r | 36.22 | 48.22 | -29.42 | 56.48 | 329 | v54m | |
| b75r | 47.81 | 72.75 | -3.76 | 72.85 | 357 | m10o | |

Dreiecks-Helligkeit i^*

%Umfang
 $u^*_{rel} = 87$
 %Regularität
 $g^*_{H,rel} = 67$
 $g^*_{C,rel} = 59$

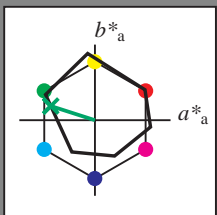


Siehe ähnliche Dateien: <http://www.ps.bam.de/Fg52/>; www.ps.bam.de/Fg.HTM
 Technische Information: <http://www.ps.bam.de> Version 2.1, io=1,1, CIELAB, ColSpX=1

BAM-Registrierung: 20081001-Fg52/10L/L52g00FP.PDF/ .PS BAM-Material: Code=rh4ta
 Anwendung für Beurteilung und Messung von Drucker- oder Monitorssystemen

Ein und Ausgabe: Farbmimetrisches Drucker-Reflektiv-System ORS20_95, L*=-20_95 für relative CIELAB-Bunnton $h^* = lab^*h^* = h^*_{ab}/360 = 0.451$ $u^*_e = g00b$
 Daten für jede Farbe: lab^*tch^* und lab^*icu^* lab^*olv^*

Bunntontexte:
 $u^*_e = g00b$ $u^*_d = l12c$
 Kontrastreduzierungsfaktor:
 $c_R = 1.0$
 Dreiecks-Helligkeit t^*



ORS20_95a; adaptierte CIELAB-Daten

| | u^*_e | $L^*=-L^*_a$ | a^*_a | b^*_a | $C^*_{ab,a}$ | $h^*_{ab,a}$ |
|-----------------|---------|--------------|---------|---------|--------------|--------------|
| O _{Ma} | 46.89 | 66.19 | 40.28 | 77.48 | 31 | |
| Y _{Ma} | 88.66 | -9.62 | 88.21 | 88.73 | 96 | |
| L _{Ma} | 54.22 | -65.29 | 33.87 | 73.56 | 153 | |
| C _{Ma} | 61.43 | -30.53 | -42.04 | 51.96 | 234 | |
| V _{Ma} | 25.93 | 25.95 | -47.37 | 54.01 | 299 | |
| M _{Ma} | 47.92 | 73.53 | -9.02 | 74.08 | 353 | |
| N _{Ma} | 20.41 | 0.0 | 0.0 | 0.0 | 0 | |
| W _{Ma} | 94.64 | 0.0 | 0.0 | 0.0 | 0 | |
| R _{Ma} | 39.92 | 58.74 | 27.99 | 65.07 | 25 | |
| J _{Ma} | 81.26 | -2.89 | 71.56 | 71.62 | 92 | |
| G _{Ma} | 52.23 | -42.42 | 13.6 | 44.55 | 162 | |
| B _{Ma} | 30.57 | 1.41 | -46.47 | 46.49 | 272 | |

Daten für Maximalfarbe (Ma):

$LAB^*LAB^*_{Ma}$: 56 -58 19

$LAB^*LCH^*_{Ma}$: 56 61 162

$lab^*rgb^*_{Ma}$: 0.0 1.0 0.0

$lab^*olv^*_{Ma}$: 0.0 1.0 0.12

Dreiecks-Helligkeit t^*

%Umfang

$u^*_{rel} = 87$

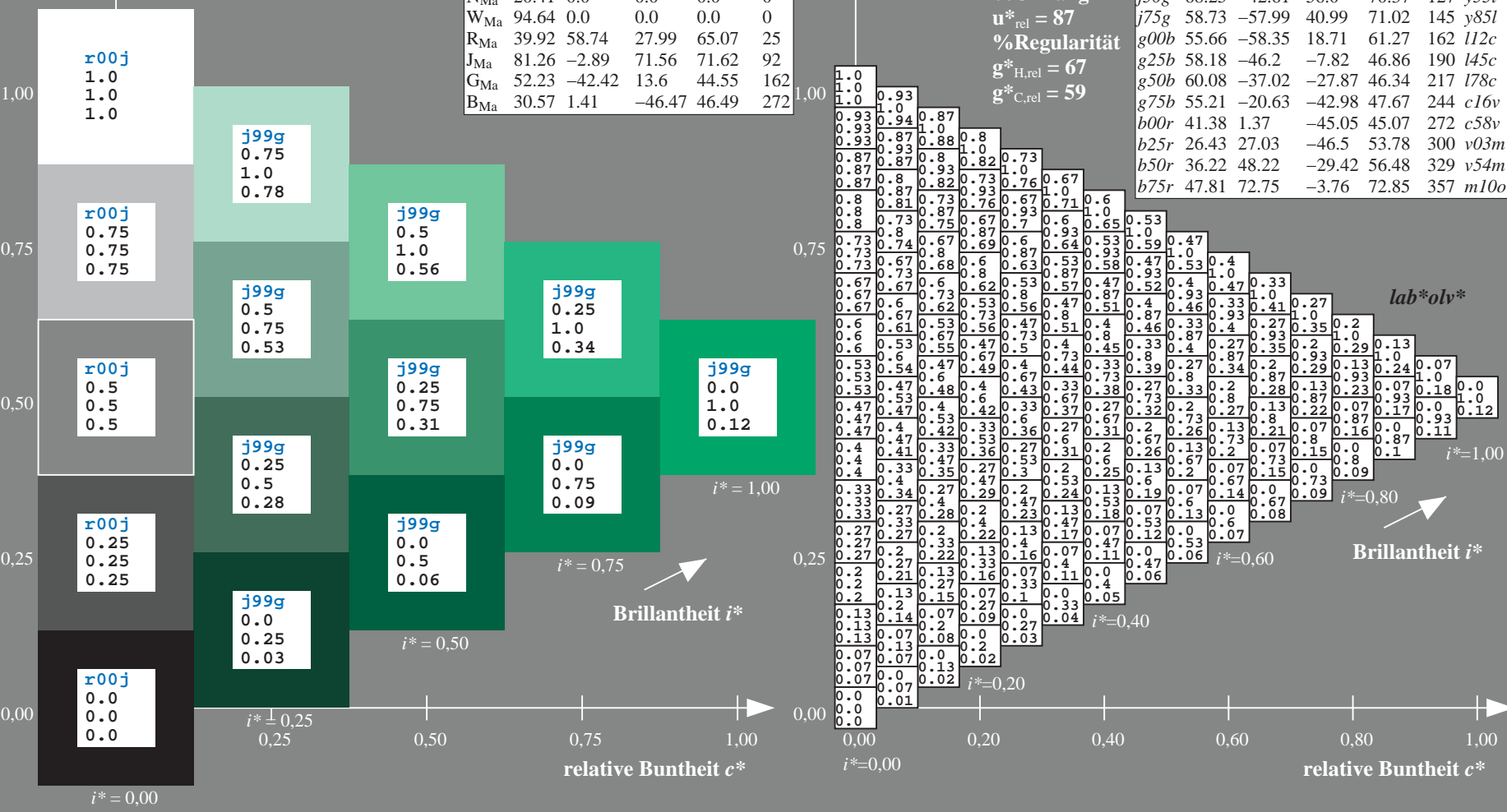
%Regularität

$g^*_{H,rel} = 67$

$g^*_{C,rel} = 59$

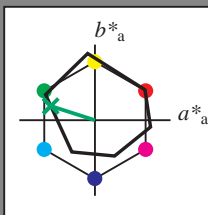
ORS20_95a; adaptierte CIELAB-Daten

| | u^*_e | $L^*=-L^*_a$ | a^*_a | b^*_a | $C^*_{ab,a}$ | $h^*_{ab,a}$ | u^*_d |
|------|---------|--------------|---------|---------|--------------|--------------|---------|
| r00j | 47.06 | 67.41 | 32.12 | 74.67 | 25 | m84o | |
| r25j | 53.95 | 53.38 | 48.38 | 72.04 | 42 | o17y | |
| r50j | 63.6 | 35.87 | 59.45 | 69.43 | 59 | o42y | |
| r75j | 73.37 | 18.14 | 70.66 | 72.95 | 76 | o68y | |
| j00g | 85.24 | -3.4 | 84.28 | 84.35 | 92 | o93y | |
| j25g | 78.53 | -25.99 | 72.23 | 76.76 | 110 | y24l | |
| j50g | 68.25 | -42.61 | 56.0 | 70.37 | 127 | y51l | |
| j75g | 58.73 | -57.99 | 40.99 | 71.02 | 145 | y85l | |
| g00b | 55.66 | -58.35 | 18.71 | 61.27 | 162 | l12c | |
| g25b | 58.18 | -46.2 | -7.82 | 46.86 | 190 | l45c | |
| g50b | 60.08 | -37.02 | -27.87 | 46.34 | 217 | l78c | |
| g75b | 55.21 | -20.63 | -42.98 | 47.67 | 244 | c16v | |
| b00r | 41.38 | 1.37 | -45.05 | 45.07 | 272 | c58v | |
| b25r | 26.43 | 27.03 | -46.5 | 53.78 | 300 | v03m | |
| b50r | 36.22 | 48.22 | -29.42 | 56.48 | 329 | v54m | |
| b75r | 47.81 | 72.75 | -3.76 | 72.85 | 357 | m10o | |



Ein und Ausgabe: Farbmatisches Drucker-Reflektiv-System ORS20_95, L*=-20_95 für relative CIELAB-Bunnton $h^* = lab^*h^* = h_{ab}/360 = 0.451$ $u^*_e = g00b$
 Daten für jede Farbe: lab^*tch^* und lab^*icu^* lab^*rgb^*

Bunntontexte:
 $u^*_e = g00b$ $u^*_d = l12c$
 Kontrastreduzierungsfaktor:
 $c_R = 1.0$
 Dreiecks-Helligkeit t^*



ORS20_95a; adaptierte CIELAB-Daten

| | u^*_e | $L^*=L^*_a$ | a^*_a | b^*_a | $C^*_{ab,a}$ | $h^*_{ab,a}$ |
|-----------------|---------|-------------|---------|---------|--------------|--------------|
| O _{Ma} | 46.89 | 66.19 | 40.28 | 77.48 | 31 | |
| Y _{Ma} | 88.66 | -9.62 | 88.21 | 88.73 | 96 | |
| L _{Ma} | 54.22 | -65.29 | 33.87 | 73.56 | 153 | |
| C _{Ma} | 61.43 | -30.53 | -42.04 | 51.96 | 234 | |
| V _{Ma} | 25.93 | 25.95 | -47.37 | 54.01 | 299 | |
| M _{Ma} | 47.92 | 73.53 | -9.02 | 74.08 | 353 | |
| N _{Ma} | 20.41 | 0.0 | 0.0 | 0.0 | 0 | |
| W _{Ma} | 94.64 | 0.0 | 0.0 | 0.0 | 0 | |
| R _{Ma} | 39.92 | 58.74 | 27.99 | 65.07 | 25 | |
| J _{Ma} | 81.26 | -2.89 | 71.56 | 71.62 | 92 | |
| G _{Ma} | 52.23 | -42.42 | 13.6 | 44.55 | 162 | |
| B _{Ma} | 30.57 | 1.41 | -46.47 | 46.49 | 272 | |

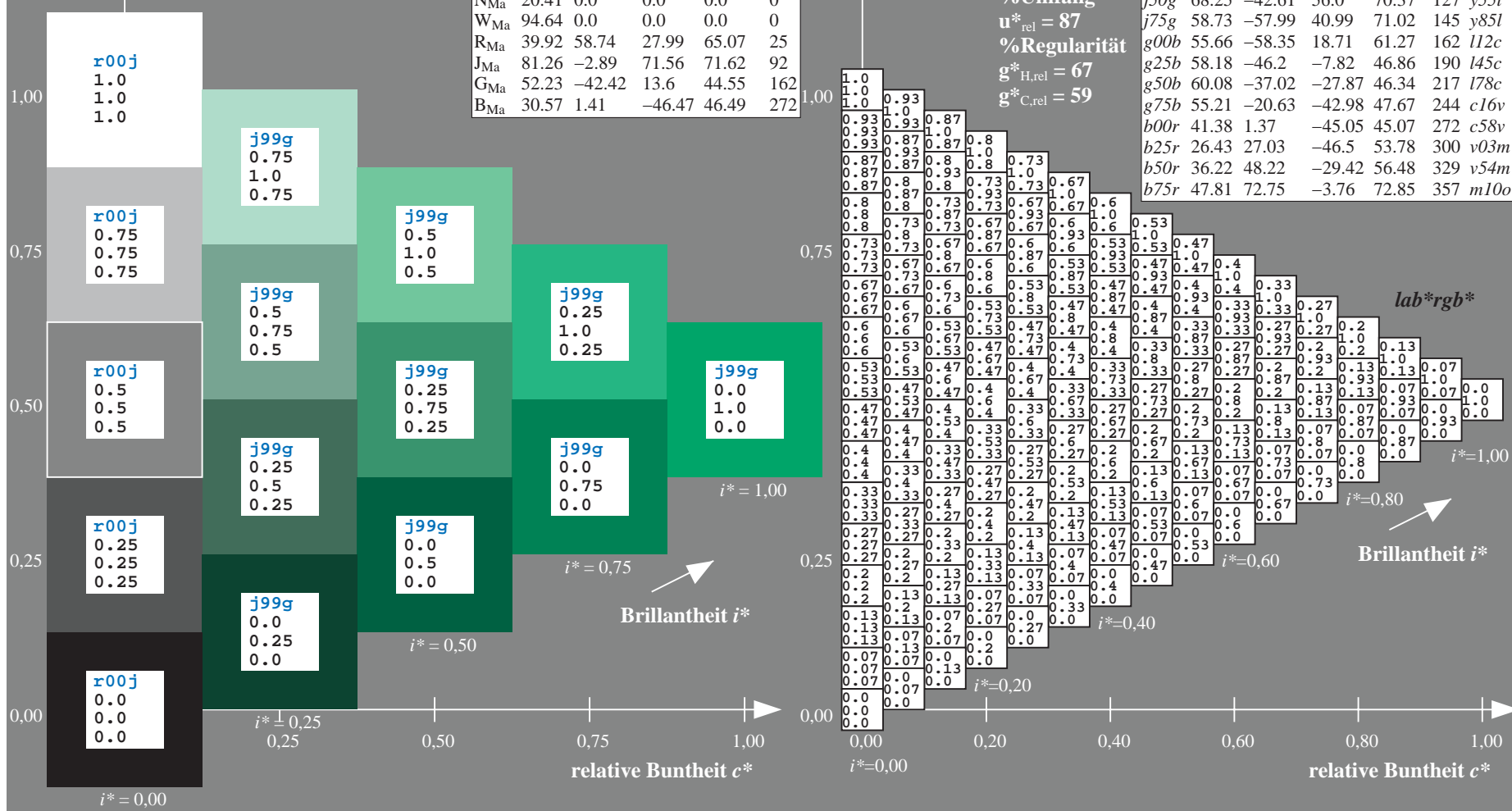
Daten für Maximalfarbe (Ma):

$LAB^*LAB^*_{Ma}$: 56 -58 19
 $LAB^*LCH^*_{Ma}$: 56 61 162
 $lab^*rgb^*_{Ma}$: 0.0 1.0 0.0
 $lab^*olv^*_{Ma}$: 0.0 1.0 0.12

ORS20_95a; adaptierte CIELAB-Daten

| | u^*_e | $L^*=L^*_a$ | a^*_a | b^*_a | $C^*_{ab,a}$ | $h^*_{ab,a}$ | u^*_d |
|------|---------|-------------|---------|---------|--------------|--------------|---------|
| r00j | 47.06 | 67.41 | 32.12 | 74.67 | 25 | m84o | |
| r25j | 53.95 | 53.38 | 48.38 | 72.04 | 42 | o17y | |
| r50j | 63.6 | 35.87 | 59.45 | 69.43 | 59 | o42y | |
| r75j | 73.37 | 18.14 | 70.66 | 72.95 | 76 | o68y | |
| j00g | 85.24 | -3.4 | 84.28 | 84.35 | 92 | o93y | |
| j25g | 78.53 | -25.99 | 72.23 | 76.76 | 110 | y24l | |
| j50g | 68.25 | -42.61 | 56.0 | 70.37 | 127 | y51l | |
| j75g | 58.73 | -57.99 | 40.99 | 71.02 | 145 | y85l | |
| g00b | 55.66 | -58.35 | 18.71 | 61.27 | 162 | l12c | |
| g25b | 58.18 | -46.2 | -7.82 | 46.86 | 190 | l45c | |
| g50b | 60.08 | -37.02 | -27.87 | 46.34 | 217 | l78c | |
| g75b | 55.21 | -20.63 | -42.98 | 47.67 | 244 | c16v | |
| b00r | 41.38 | 1.37 | -45.05 | 45.07 | 272 | c58v | |
| b25r | 26.43 | 27.03 | -46.5 | 53.78 | 300 | v03m | |
| b50r | 36.22 | 48.22 | -29.42 | 56.48 | 329 | v54m | |
| b75r | 47.81 | 72.75 | -3.76 | 72.85 | 357 | m10o | |

Dreiecks-Helligkeit t^*
 %Umfang
 $u^*_{rel} = 87$
 %Regularität
 $g^*_{H,rel} = 67$
 $g^*_{C,rel} = 59$



Siehe ähnliche Dateien: <http://www.ps.bam.de/Fg52/>; www.ps.bam.de/Fg.HTM
 Technische Information: <http://www.ps.bam.de/Version.2.1,io=1,1,CIELAB,ColSpX=1>

BAM-Registrierung: 20081001-Fg52/10L/L52g00FP.PDF/ .PS BAM-Material: Code=rh4ta
 Anwendung für Beurteilung und Messung von Drucker- oder Monitorssystemen

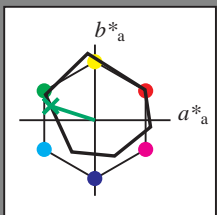
Ein und Ausgabe: Farbmimetrisches Drucker-Reflektiv-System ORS20_95, L*=-20_95 für relative CIELAB-Buntton $h^* = lab^*h^* = h_{ab}^*/360 = 0.451$ $u^*_e = g00b$

Daten für jede Farbe:
 lab^*tch^* und lab^*icu^*

Bunttontexte:
 $u^*_e = g00b$ $u^*_d = l12c$

Kontrastreduzierungsfaktor:
 $c_R = 1.0$

Dreiecks-Helligkeit i^*



ORS20_95a; adaptierte CIELAB-Daten

| | u^*_e | $L^*=L^*_a$ | a^*_a | b^*_a | $C^*_{ab,a}$ | $h^*_{ab,a}$ |
|-----------------|---------|-------------|---------|---------|--------------|--------------|
| O _{Ma} | 46.89 | 66.19 | 40.28 | 77.48 | 31 | |
| Y _{Ma} | 88.66 | -9.62 | 88.21 | 88.73 | 96 | |
| L _{Ma} | 54.22 | -65.29 | 33.87 | 73.56 | 153 | |
| C _{Ma} | 61.43 | -30.53 | -42.04 | 51.96 | 234 | |
| V _{Ma} | 25.93 | 25.95 | -47.37 | 54.01 | 299 | |
| M _{Ma} | 47.92 | 73.53 | -9.02 | 74.08 | 353 | |
| N _{Ma} | 20.41 | 0.0 | 0.0 | 0.0 | 0 | |
| W _{Ma} | 94.64 | 0.0 | 0.0 | 0.0 | 0 | |
| R _{Ma} | 39.92 | 58.74 | 27.99 | 65.07 | 25 | |
| J _{Ma} | 81.26 | -2.89 | 71.56 | 71.62 | 92 | |
| G _{Ma} | 52.23 | -42.42 | 13.6 | 44.55 | 162 | |
| B _{Ma} | 30.57 | 1.41 | -46.47 | 46.49 | 272 | |

Daten für Maximalfarbe (Ma):

$LAB^*LAB^*_Ma$: 56 -58 19

$LAB^*LCH^*_Ma$: 56 61 162

$lab^*rgb^*_Ma$: 0.0 1.0 0.0

$lab^*olv^*_Ma$: 0.0 1.0 0.12

Dreiecks-Helligkeit i^*

%Umfang

$u^*_{rel} = 87$

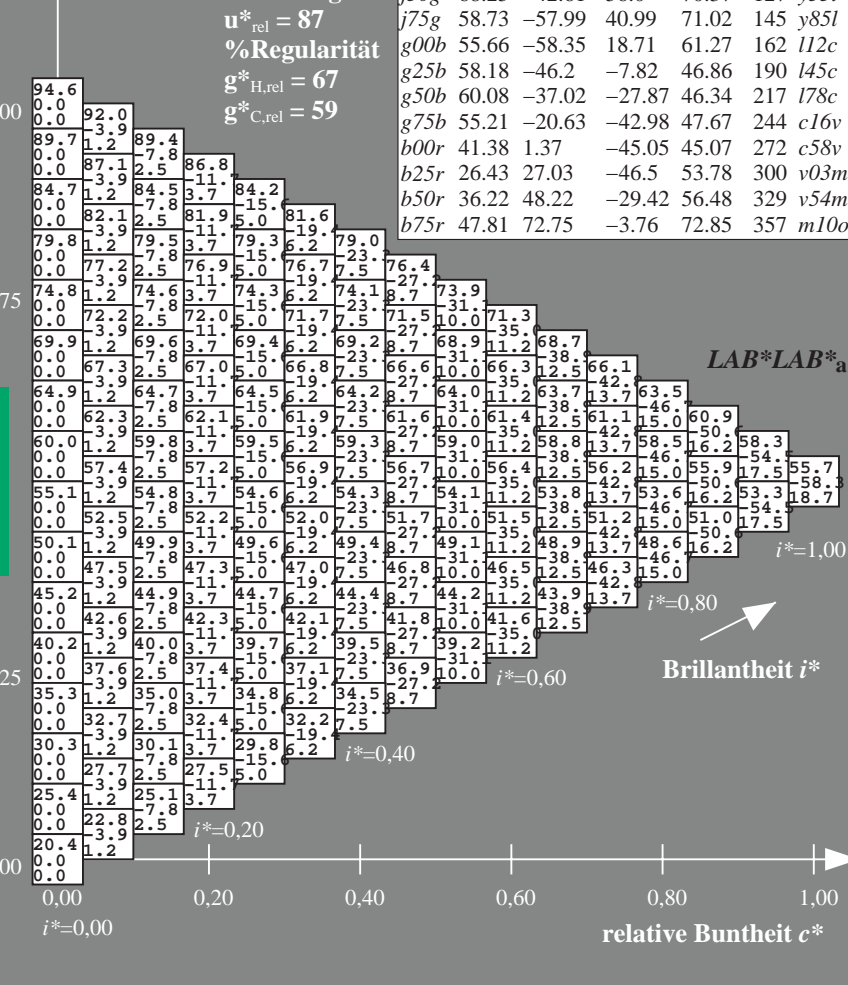
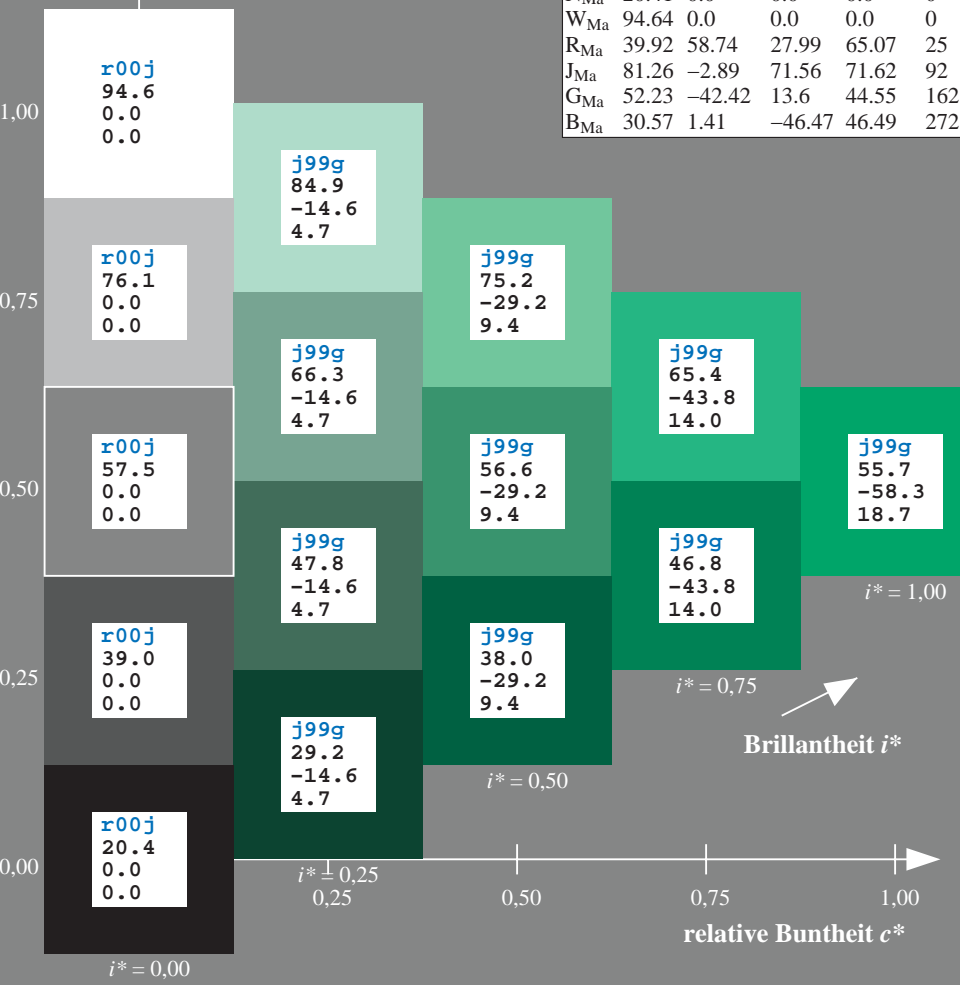
%Regularität

$g^*_{H,rel} = 67$

$g^*_{C,rel} = 59$

ORS20_95a; adaptierte CIELAB-Daten

| | u^*_e | $L^*=L^*_a$ | a^*_a | b^*_a | $C^*_{ab,a}$ | $h^*_{ab,a}$ | u^*_d |
|------|---------|-------------|---------|---------|--------------|--------------|---------|
| r00j | 47.06 | 67.41 | 32.12 | 74.67 | 25 | m84o | |
| r25j | 53.95 | 53.38 | 48.38 | 72.04 | 42 | o17y | |
| r50j | 63.6 | 35.87 | 59.45 | 69.43 | 59 | o42y | |
| r75j | 73.37 | 18.14 | 70.66 | 72.95 | 76 | o68y | |
| j00g | 85.24 | -3.4 | 84.28 | 84.35 | 92 | o93y | |
| j25g | 78.53 | -25.99 | 72.23 | 76.76 | 110 | y24l | |
| j50g | 68.25 | -42.61 | 56.0 | 70.37 | 127 | y51l | |
| j75g | 58.73 | -57.99 | 40.99 | 71.02 | 145 | y85l | |
| g00b | 55.66 | -58.35 | 18.71 | 61.27 | 162 | l12c | |
| g25b | 58.18 | -46.2 | -7.82 | 46.86 | 190 | l45c | |
| g50b | 60.08 | -37.02 | -27.87 | 46.34 | 217 | l78c | |
| g75b | 55.21 | -20.63 | -42.98 | 47.67 | 244 | c16v | |
| b00r | 41.38 | 1.37 | -45.05 | 45.07 | 272 | c58v | |
| b25r | 26.43 | 27.03 | -46.5 | 53.78 | 300 | v03m | |
| b50r | 36.22 | 48.22 | -29.42 | 56.48 | 329 | v54m | |
| b75r | 47.81 | 72.75 | -3.76 | 72.85 | 357 | m10o | |

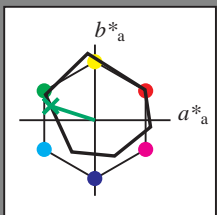


BAM-Registrierung: 20081001-Fg52/10L/L52g00FP.PDF/ .PS BAM-Material: Code=rh4ta
 Anwendung für Beurteilung und Messung von Drucker- oder Monitorssystemen

Siehe ähnliche Dateien: <http://www.ps.bam.de/Fg52/>; [http://www.ps.bam.de/Version 2.1, io=1,1, CIELAB, ColSpX=1](http://www.ps.bam.de/Version%201.1,%20CIE%20LAB,%20ColSpX=1)
 Technische Information: [http://www.ps.bam.de/Version 2.1, io=1,1, CIELAB, ColSpX=1](http://www.ps.bam.de/Version%201.1,%20CIE%20LAB,%20ColSpX=1)

Ein und Ausgabe: Farbmetrisches Drucker-Reflektiv-System ORS20_95, L*=20_95 für relative CIELAB-Buntton $h^* = lab^*h^* = h_{ab}/360 = 0.451$ $u^*_e = g00b$
 Daten für jede Farbe: $LAB^*LCH^*_a$

Bunttontexte:
 $u^*_e = g00b$ $u^*_d = l12c$
 Kontrastreduzierungsfaktor:
 $c_R = 1.0$
 Dreiecks-Helligkeit i^*



ORS20_95a; adaptierte CIELAB-Daten

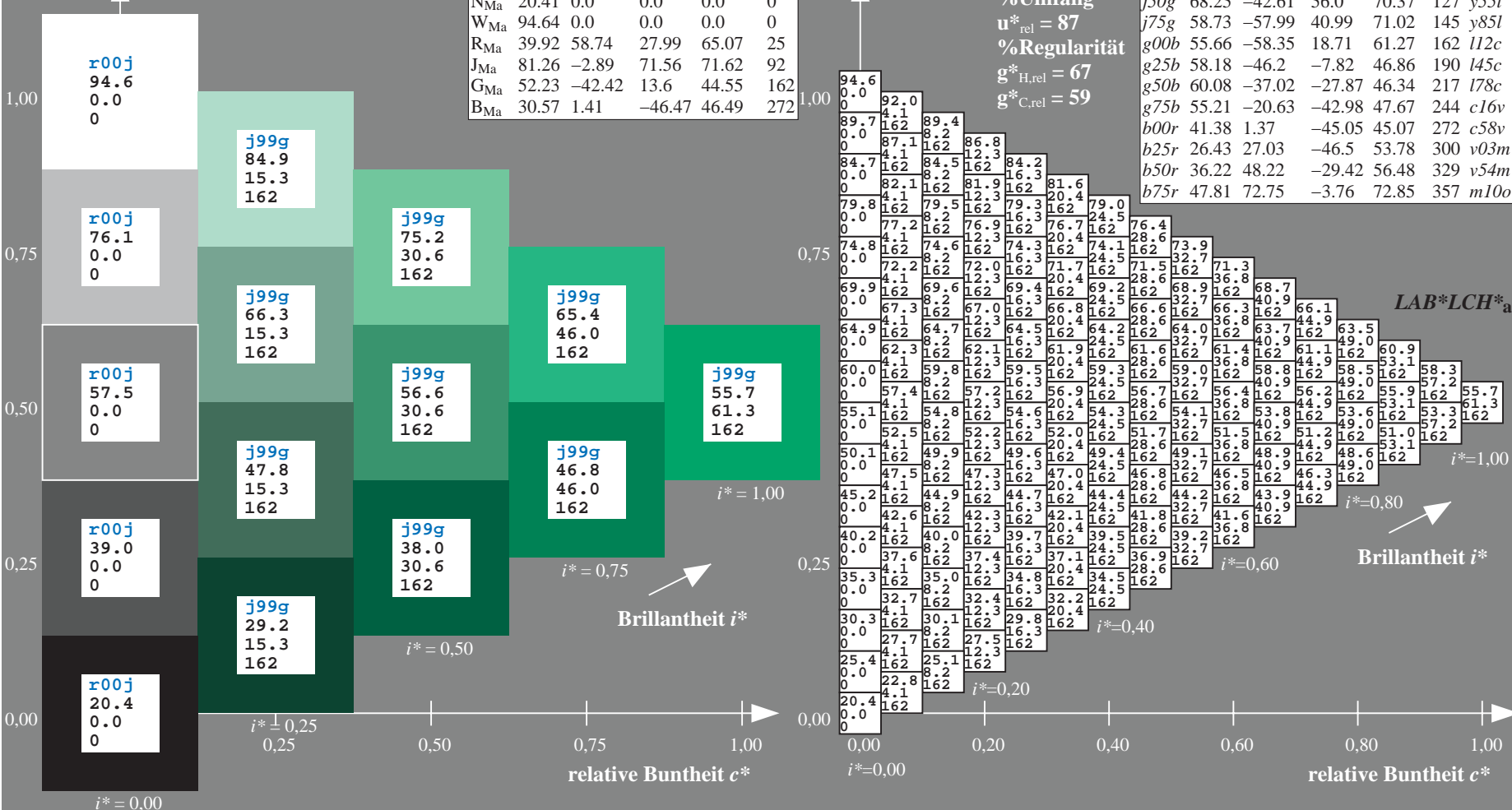
| | u^*_e | $L^*=L^*_a$ | a^*_a | b^*_a | $C^*_{ab,a}$ | $h^*_{ab,a}$ |
|-----------------|---------|-------------|---------|---------|--------------|--------------|
| O _{Ma} | 46.89 | 66.19 | 40.28 | 77.48 | 31 | |
| Y _{Ma} | 88.66 | -9.62 | 88.21 | 88.73 | 96 | |
| L _{Ma} | 54.22 | -65.29 | 33.87 | 73.56 | 153 | |
| C _{Ma} | 61.43 | -30.53 | -42.04 | 51.96 | 234 | |
| V _{Ma} | 25.93 | 25.95 | -47.37 | 54.01 | 299 | |
| M _{Ma} | 47.92 | 73.53 | -9.02 | 74.08 | 353 | |
| N _{Ma} | 20.41 | 0.0 | 0.0 | 0.0 | 0 | |
| W _{Ma} | 94.64 | 0.0 | 0.0 | 0.0 | 0 | |
| R _{Ma} | 39.92 | 58.74 | 27.99 | 65.07 | 25 | |
| J _{Ma} | 81.26 | -2.89 | 71.56 | 71.62 | 92 | |
| G _{Ma} | 52.23 | -42.42 | 13.6 | 44.55 | 162 | |
| B _{Ma} | 30.57 | 1.41 | -46.47 | 46.49 | 272 | |

Daten für Maximalfarbe (Ma):
 $LAB^*LAB^*_Ma: 56 -58 19$
 $LAB^*LCH^*_Ma: 56 61 162$
 $lab^*rgb^*_Ma: 0.0 1.0 0.0$
 $lab^*olv^*_Ma: 0.0 1.0 0.12$

ORS20_95a; adaptierte CIELAB-Daten

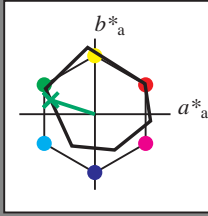
| | u^*_e | $L^*=L^*_a$ | a^*_a | b^*_a | $C^*_{ab,a}$ | $h^*_{ab,a}$ | u^*_d |
|------|---------|-------------|---------|---------|--------------|--------------|---------|
| r00j | 47.06 | 67.41 | 32.12 | 74.67 | 25 | m84o | |
| r25j | 53.95 | 53.38 | 48.38 | 72.04 | 42 | o17y | |
| r50j | 63.6 | 35.87 | 59.45 | 69.43 | 59 | o42y | |
| r75j | 73.37 | 18.14 | 70.66 | 72.95 | 76 | o68y | |
| j00g | 85.24 | -3.4 | 84.28 | 84.35 | 92 | o93y | |
| j25g | 78.53 | -25.99 | 72.23 | 76.76 | 110 | y24l | |
| j50g | 68.25 | -42.61 | 56.0 | 70.37 | 127 | y51l | |
| j75g | 58.73 | -57.99 | 40.99 | 71.02 | 145 | y85l | |
| g00b | 55.66 | -58.35 | 18.71 | 61.27 | 162 | l12c | |
| g25b | 58.18 | -46.2 | -7.82 | 46.86 | 190 | l45c | |
| g50b | 60.08 | -37.02 | -27.87 | 46.34 | 217 | l78c | |
| g75b | 55.21 | -20.63 | -42.98 | 47.67 | 244 | c16v | |
| b00r | 41.38 | 1.37 | -45.05 | 45.07 | 272 | c58v | |
| b25r | 26.43 | 27.03 | -46.5 | 53.78 | 300 | v03m | |
| b50r | 36.22 | 48.22 | -29.42 | 56.48 | 329 | v54m | |
| b75r | 47.81 | 72.75 | -3.76 | 72.85 | 357 | m10o | |

Dreiecks-Helligkeit i^*
 %Umfang
 $u^*_{rel} = 87$
 %Regularität
 $g^*_{H,rel} = 67$
 $g^*_{C,rel} = 59$



BAM-Registrierung: 20081001-Fg52/10L/L52g00FP.PDF/ .PS BAM-Material: Code=rh4ta
 Anwendung für Beurteilung und Messung von Drucker- oder Monitorssystemen

Ein und Ausgabe: Farbmatisches Drucker-Reflektiv-System ORS20_95, L*=20_95 für relative CIELAB-Bunnton $h^* = lab^*h^* = h^*_{ab}/360 = 0.451$ $u^*_e = g00b$
 Daten für jede Farbe: lab^*tch^* und lab^*icu^*
 Bunntontexte: $u^*_e = g00b$ $u^*_d = l12c$
 Kontrastreduzierungsfaktor: $c_R = 1.0$
 Dreiecks-Helligkeit i^*



ORS20_95a; adaptierte CIELAB-Daten

| | u^*_e | $L^*=L^*_a$ | a^*_a | b^*_a | $C^*_{ab,a}$ | $h^*_{ab,a}$ |
|-----------------|---------|-------------|---------|---------|--------------|--------------|
| O _{Ma} | 46.89 | 66.19 | 40.28 | 77.48 | 31 | |
| Y _{Ma} | 88.66 | -9.62 | 88.21 | 88.73 | 96 | |
| L _{Ma} | 54.22 | -65.29 | 33.87 | 73.56 | 153 | |
| C _{Ma} | 61.43 | -30.53 | -42.04 | 51.96 | 234 | |
| V _{Ma} | 25.93 | 25.95 | -47.37 | 54.01 | 299 | |
| M _{Ma} | 47.92 | 73.53 | -9.02 | 74.08 | 353 | |
| N _{Ma} | 20.41 | 0.0 | 0.0 | 0.0 | 0 | |
| W _{Ma} | 94.64 | 0.0 | 0.0 | 0.0 | 0 | |
| R _{Ma} | 39.92 | 58.74 | 27.99 | 65.07 | 25 | |
| J _{Ma} | 81.26 | -2.89 | 71.56 | 71.62 | 92 | |
| G _{Ma} | 52.23 | -42.42 | 13.6 | 44.55 | 162 | |
| B _{Ma} | 30.57 | 1.41 | -46.47 | 46.49 | 272 | |

Daten für Maximalfarbe (Ma):

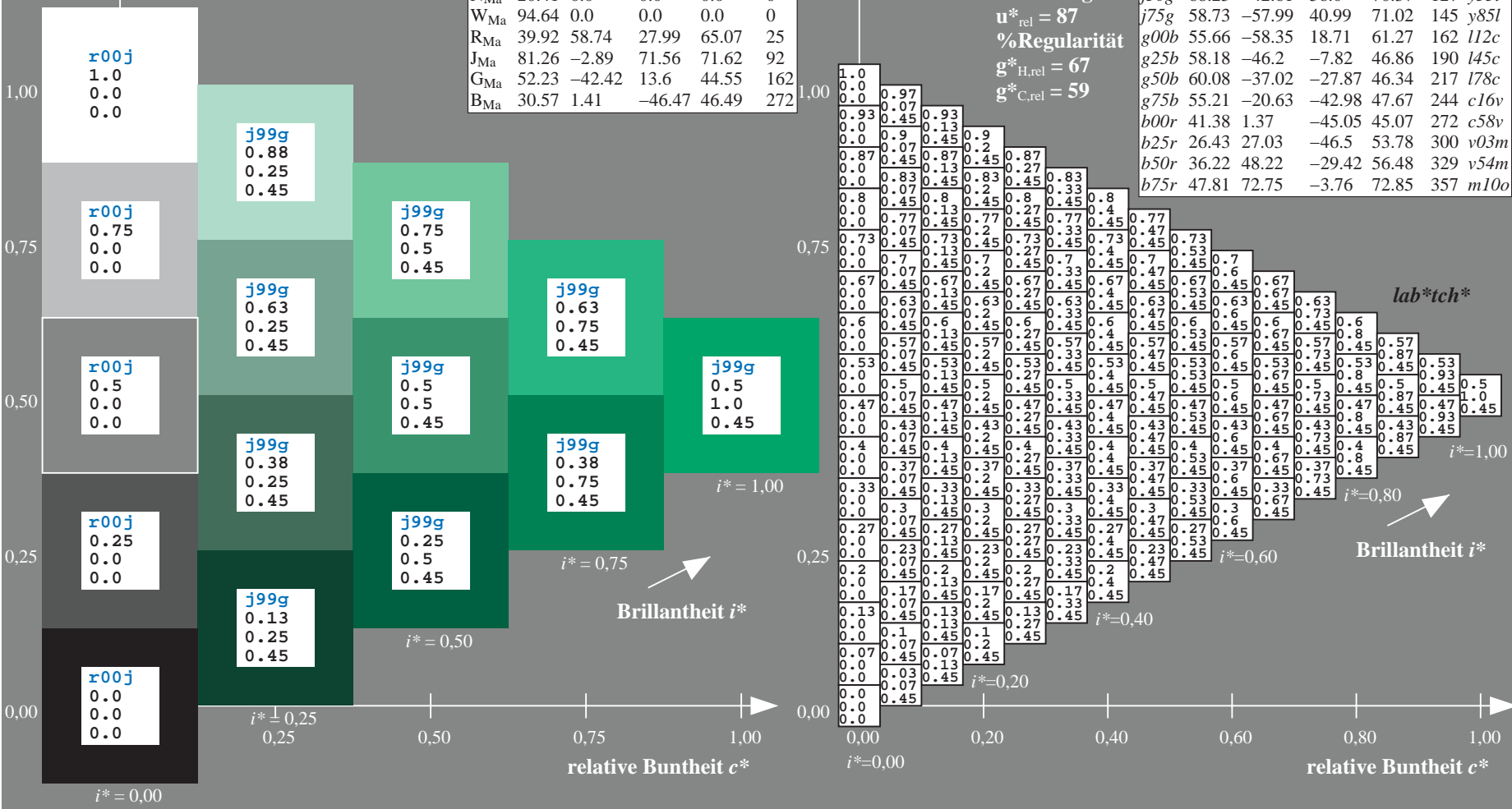
$LAB^*LAB^*_{Ma}$: 56 -58 19
 $LAB^*LCH^*_{Ma}$: 56 61 162
 $lab^*rgb^*_{Ma}$: 0.0 1.0 0.0
 $lab^*olv^*_{Ma}$: 0.0 1.0 0.12

ORS20_95a; adaptierte CIELAB-Daten

| | u^*_e | $L^*=L^*_a$ | a^*_a | b^*_a | $C^*_{ab,a}$ | $h^*_{ab,a}$ | u^*_d |
|------|---------|-------------|---------|---------|--------------|--------------|---------|
| r00j | 47.06 | 67.41 | 32.12 | 74.67 | 25 | m84o | |
| r25j | 53.95 | 53.38 | 48.38 | 72.04 | 42 | o17y | |
| r50j | 63.6 | 35.87 | 59.45 | 69.43 | 59 | o42y | |
| r75j | 73.37 | 18.14 | 70.66 | 72.95 | 76 | o68y | |
| j00g | 85.24 | -3.4 | 84.28 | 84.35 | 92 | o93y | |
| j25g | 78.53 | -25.99 | 72.23 | 76.76 | 110 | y24l | |
| j50g | 68.25 | -42.61 | 56.0 | 70.37 | 127 | y51l | |
| j75g | 58.73 | -57.99 | 40.99 | 71.02 | 145 | y85l | |
| g00b | 55.66 | -58.35 | 18.71 | 61.27 | 162 | l12c | |
| g25b | 58.18 | -46.2 | -7.82 | 46.86 | 190 | l45c | |
| g50b | 60.08 | -37.02 | -27.87 | 46.34 | 217 | l78c | |
| g75b | 55.21 | -20.63 | -42.98 | 47.67 | 244 | c16v | |
| b00r | 41.38 | 1.37 | -45.05 | 45.07 | 272 | c58v | |
| b25r | 26.43 | 27.03 | -46.5 | 53.78 | 300 | v03m | |
| b50r | 36.22 | 48.22 | -29.42 | 56.48 | 329 | v54m | |
| b75r | 47.81 | 72.75 | -3.76 | 72.85 | 357 | m10o | |

Dreiecks-Helligkeit i^*

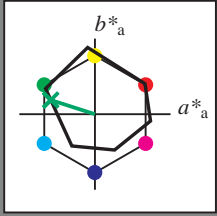
%Umfang
 $u^*_{rel} = 87$
 %Regularität
 $g^*_{H,rel} = 67$
 $g^*_{C,rel} = 59$



Siehe ähnliche Dateien: <http://www.ps.bam.de/Fg52/>; www.ps.bam.de/Version.2.1,io=1,1,CIELAB,ColSpX=1
 Technische Information: <http://www.ps.bam.de/Version.2.1,io=1,1,CIELAB,ColSpX=1>

BAM-Registrierung: 20081001-Fg52/10L/L52g00FP.PDF/ .PS BAM-Material: Code=rh4ta
 Anwendung für Beurteilung und Messung von Drucker- oder Monitorssystemen

Ein und Ausgabe: Farbmimetrisches Drucker-Reflektiv-System ORS20_95, L*=20_95 für relative CIELAB-Bunnton $h^* = lab^*h^* = h_{ab}^*/360 = 0.451$ $u^*_e = g00b$
 Daten für jede Farbe: lab^*tch^* und lab^*icu^*
 $u^*_e = g00b$ $u^*_d = l12c$
 Kontrastreduzierungsfaktor: $c_R = 1.0$
 Dreiecks-Helligkeit t^*



ORS20_95a; adaptierte CIELAB-Daten

| | u^*_e | $L^*=L^*_a$ | a^*_a | b^*_a | $C^*_{ab,a}$ | $h^*_{ab,a}$ |
|-----------------|---------|-------------|---------|---------|--------------|--------------|
| O _{Ma} | 46.89 | 66.19 | 40.28 | 77.48 | 31 | |
| Y _{Ma} | 88.66 | -9.62 | 88.21 | 88.73 | 96 | |
| L _{Ma} | 54.22 | -65.29 | 33.87 | 73.56 | 153 | |
| C _{Ma} | 61.43 | -30.53 | -42.04 | 51.96 | 234 | |
| V _{Ma} | 25.93 | 25.95 | -47.37 | 54.01 | 299 | |
| M _{Ma} | 47.92 | 73.53 | -9.02 | 74.08 | 353 | |
| N _{Ma} | 20.41 | 0.0 | 0.0 | 0.0 | 0 | |
| W _{Ma} | 94.64 | 0.0 | 0.0 | 0.0 | 0 | |
| R _{Ma} | 39.92 | 58.74 | 27.99 | 65.07 | 25 | |
| J _{Ma} | 81.26 | -2.89 | 71.56 | 71.62 | 92 | |
| G _{Ma} | 52.23 | -42.42 | 13.6 | 44.55 | 162 | |
| B _{Ma} | 30.57 | 1.41 | -46.47 | 46.49 | 272 | |

Daten für Maximalfarbe (Ma):

$LAB^*LAB^*_{Ma}$: 56 -58 19

$LAB^*LCH^*_{Ma}$: 56 61 162

$lab^*rgb^*_{Ma}$: 0.0 1.0 0.0

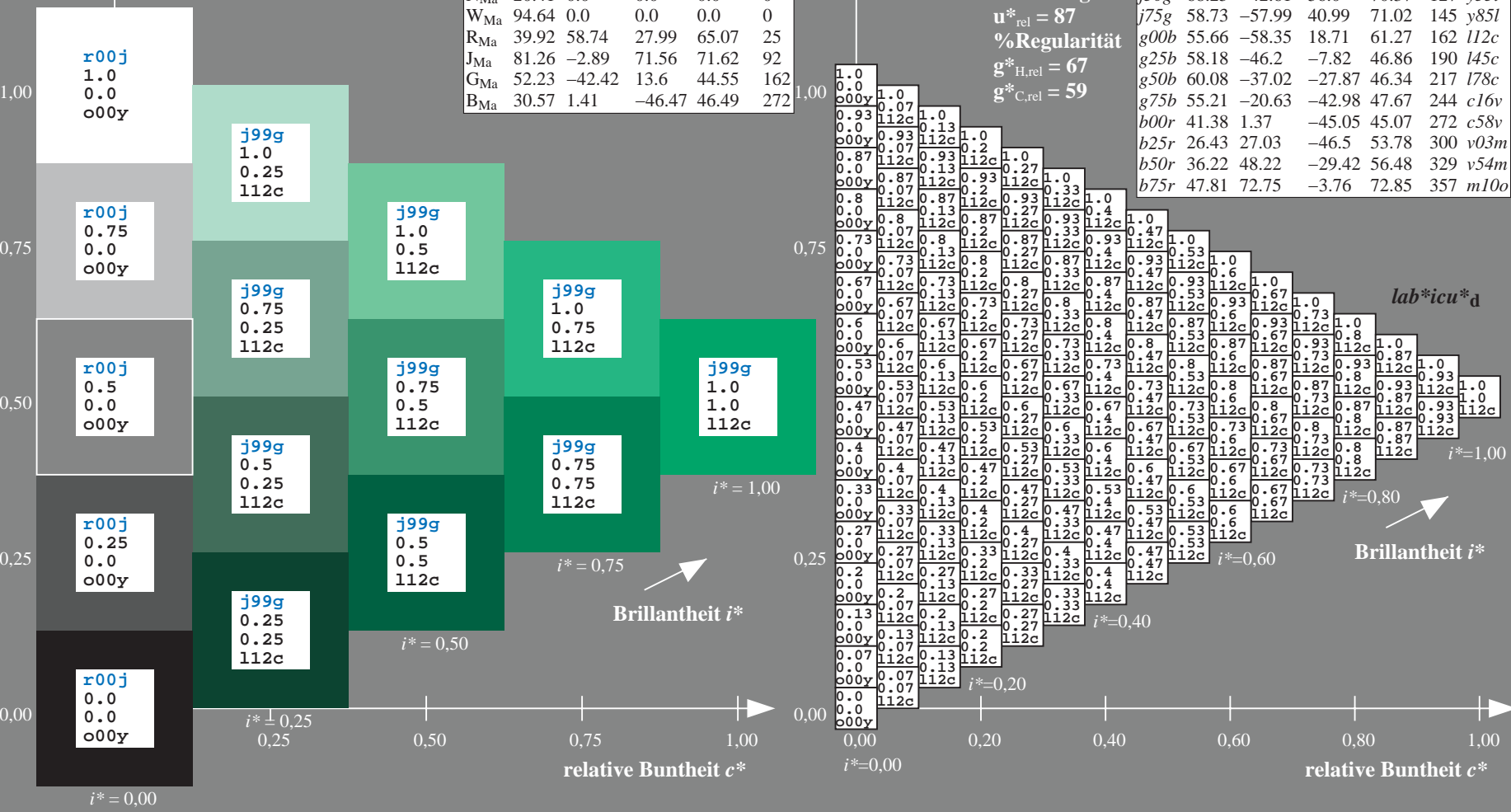
$lab^*olv^*_{Ma}$: 0.0 1.0 0.12

Dreiecks-Helligkeit t^*

%Umfang
 $u^*_{rel} = 87$
 %Regularität
 $g^*_{H,rel} = 67$
 $g^*_{C,rel} = 59$

ORS20_95a; adaptierte CIELAB-Daten

| | u^*_e | $L^*=L^*_a$ | a^*_a | b^*_a | $C^*_{ab,a}$ | $h^*_{ab,a}$ | u^*_d |
|------|---------|-------------|---------|---------|--------------|--------------|---------|
| r00j | 47.06 | 67.41 | 32.12 | 74.67 | 25 | m84o | |
| r25j | 53.95 | 53.38 | 48.38 | 72.04 | 42 | o17y | |
| r50j | 63.6 | 35.87 | 59.45 | 69.43 | 59 | o42y | |
| r75j | 73.37 | 18.14 | 70.66 | 72.95 | 76 | o68y | |
| j00g | 85.24 | -3.4 | 84.28 | 84.35 | 92 | o93y | |
| j25g | 78.53 | -25.99 | 72.23 | 76.76 | 110 | y24l | |
| j50g | 68.25 | -42.61 | 56.0 | 70.37 | 127 | y85l | |
| j75g | 58.73 | -57.99 | 40.99 | 71.02 | 145 | y85l | |
| g00b | 55.66 | -58.35 | 18.71 | 61.27 | 162 | l12c | |
| g25b | 58.18 | -46.2 | -7.82 | 46.86 | 190 | l45c | |
| g50b | 60.08 | -37.02 | -27.87 | 46.34 | 217 | l78c | |
| g75b | 55.21 | -20.63 | -42.98 | 47.67 | 244 | c16v | |
| b00r | 41.38 | 1.37 | -45.05 | 45.07 | 272 | c58v | |
| b25r | 26.43 | 27.03 | -46.5 | 53.78 | 300 | v03m | |
| b50r | 36.22 | 48.22 | -29.42 | 56.48 | 329 | v54m | |
| b75r | 47.81 | 72.75 | -3.76 | 72.85 | 357 | m10o | |



Siehe ähnliche Dateien: <http://www.ps.bam.de/Fg52/>; www.ps.bam.de/Fg.HTM
 Technische Information: <http://www.ps.bam.de/Version.2.1,io=1,1,CIELAB,ColSpX=1>

BAM-Registrierung: 20081001-Fg52/10L/L52g00FP.PDF/ .PS BAM-Material: Code=rhatha
 Anwendung für Beurteilung und Messung von Drucker- oder Monitorssystemen

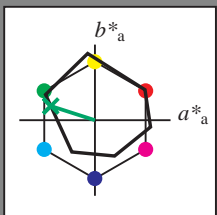
Ein und Ausgabe: Farbmatisches Drucker-Reflektiv-System ORS20_95, L*=20_95 für relative CIELAB-Bunnton $h^* = lab^*h^* = h_{ab}/360 = 0.451$ $u^*_e = g00b$
 LAB^*LAB^*

Daten für jede Farbe:
 lab^*tch^* und lab^*icu^*

Bunntontexte:
 $u^*_e = g00b$ $u^*_d = l12c$

Kontrastreduzierungsfaktor:
 $c_R = 1.0$

Dreiecks-Helligkeit i^*



| ORS20_95; CIELAB-Daten | | | | | | |
|------------------------|-----------|--------|--------|------------|------------|--|
| u^*_e | $L^*=L^*$ | a^* | b^* | C^*_{ab} | h^*_{ab} | |
| O _M | 46.89 | 66.08 | 41.48 | 78.02 | 32 | |
| Y _M | 88.66 | -10.34 | 90.28 | 90.87 | 97 | |
| L _M | 54.22 | -65.51 | 35.22 | 74.38 | 152 | |
| C _M | 61.43 | -30.85 | -40.54 | 50.94 | 233 | |
| V _M | 25.93 | 26.15 | -46.61 | 53.44 | 299 | |
| M _M | 47.92 | 73.41 | -7.8 | 73.82 | 354 | |
| N _M | 20.41 | 0.28 | 0.64 | 0.7 | 66 | |
| W _M | 94.64 | -0.81 | 2.2 | 2.34 | 110 | |
| R _M | 39.92 | 58.74 | 27.99 | 65.07 | 25 | |
| J _M | 81.26 | -2.89 | 71.56 | 71.62 | 92 | |
| G _M | 52.23 | -42.42 | 13.6 | 44.55 | 162 | |
| B _M | 30.57 | 1.41 | -46.47 | 46.49 | 272 | |

Daten für Maximalfarbe (Ma):

$LAB^*LAB^*_Ma: 56 -58 19$

$LAB^*LCH^*_Ma: 56 61 162$

$lab^*rgb^*_Ma: 0.0 1.0 0.0$

$lab^*olv^*_Ma: 0.0 1.0 0.12$

Dreiecks-Helligkeit i^*

%Umfang

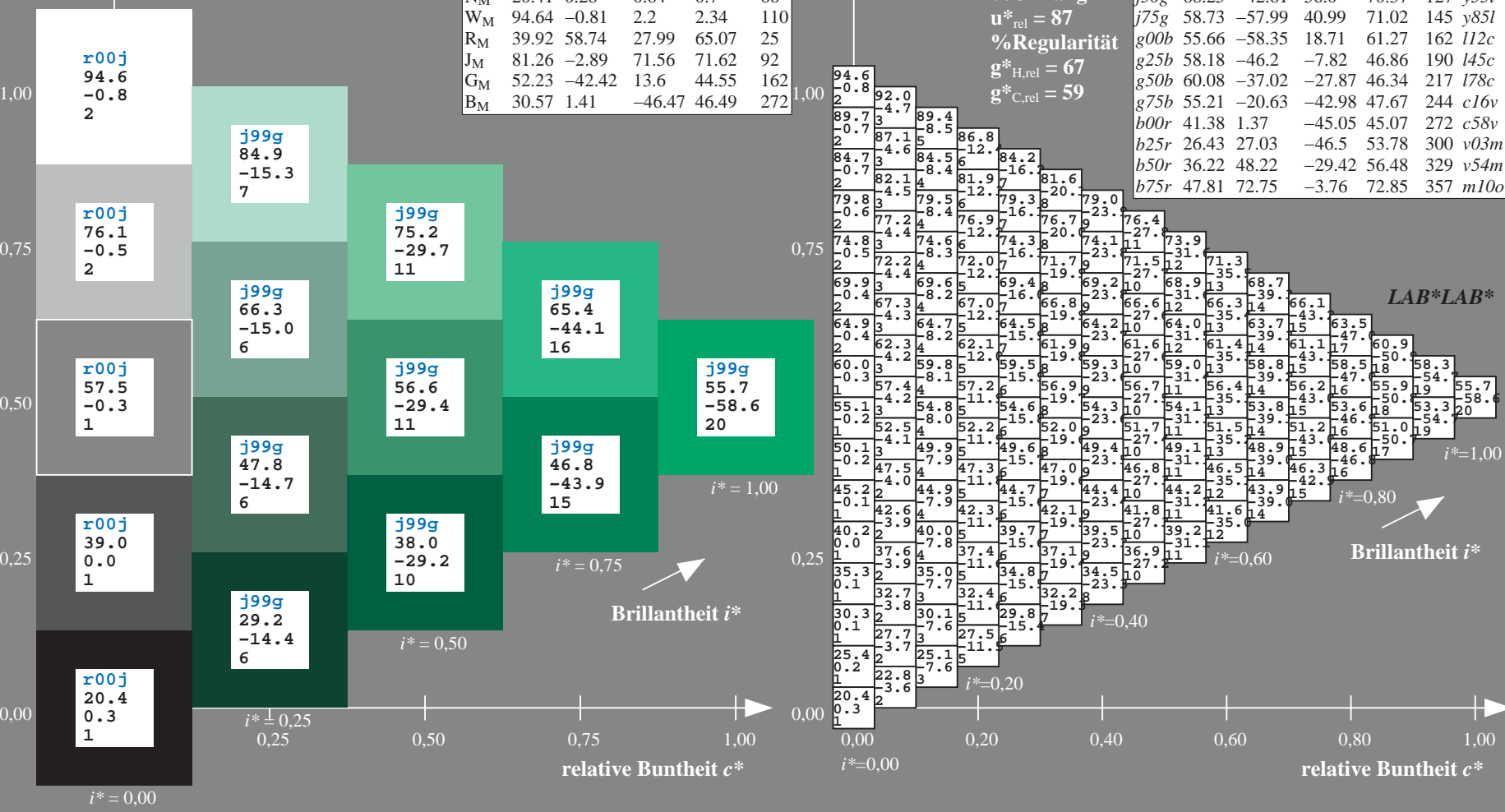
$u^*_{rel} = 87$

%Regularität

$g^*_{H,rel} = 67$

$g^*_{C,rel} = 59$

| ORS20_95a; adaptierte CIELAB-Daten | | | | | | | |
|------------------------------------|-------------|---------|---------|--------------|--------------|---------|--|
| u^*_e | $L^*=L^*_a$ | a^*_a | b^*_a | $C^*_{ab,a}$ | $h^*_{ab,a}$ | u^*_d | |
| r00j | 47.06 | 67.41 | 32.12 | 74.67 | 25 | m84o | |
| r25j | 53.95 | 53.38 | 48.38 | 72.04 | 42 | o17y | |
| r50j | 63.6 | 35.87 | 59.45 | 69.43 | 59 | o42y | |
| r75j | 73.37 | 18.14 | 70.66 | 72.95 | 76 | o68y | |
| j00g | 85.24 | -3.4 | 84.28 | 84.35 | 92 | o93y | |
| j25g | 78.53 | -25.99 | 72.23 | 76.76 | 110 | y24l | |
| j50g | 68.25 | -42.61 | 56.0 | 70.37 | 127 | y85l | |
| j75g | 58.73 | -57.99 | 40.99 | 71.02 | 145 | y85l | |
| g00b | 55.66 | -58.35 | 18.71 | 61.27 | 162 | l12c | |
| g25b | 58.18 | -46.2 | -7.82 | 46.86 | 190 | l45c | |
| g50b | 60.08 | -37.02 | -27.87 | 46.34 | 217 | l78c | |
| g75b | 55.21 | -20.63 | -42.98 | 47.67 | 244 | c16v | |
| b00r | 41.38 | 1.37 | -45.05 | 45.07 | 272 | c58v | |
| b25r | 26.43 | 27.03 | -46.5 | 53.78 | 300 | v03m | |
| b50r | 36.22 | 48.22 | -29.42 | 56.48 | 329 | v54m | |
| b75r | 47.81 | 72.75 | -3.76 | 72.85 | 357 | m10o | |



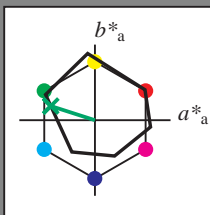
Ein und Ausgabe: Farbmimetrisches Drucker-Reflektiv-System ORS20_95, L*=20_95 für relative CIELAB-Bunnton $h^* = lab^*h^* = h_{ab}/360 = 0.451$ $u^*_e = g00b$
 $lab^*olv'^*$

Daten für jede Farbe:
 lab^*tch^* und lab^*icu^*

Bunntontexte:
 $u^*_e = g00b$ $u^*_d = l12c$

Kontrastreduzierungsfaktor:
 $c_R = 1.0$

Dreiecks-Helligkeit i^*



| ORS20_95a; CIELAB-Daten | | | | | | |
|-------------------------|---------|-----------|--------|-------|------------|------------|
| | u^*_e | $L^*=L^*$ | a^* | b^* | C^*_{ab} | h^*_{ab} |
| O _M | 46.89 | 66.08 | 41.48 | 78.02 | 32 | |
| Y _M | 88.66 | -10.34 | 90.28 | 90.87 | 97 | |
| L _M | 54.22 | -65.51 | 35.22 | 74.38 | 152 | |
| C _M | 61.43 | -30.85 | -40.54 | 50.94 | 233 | |
| V _M | 25.93 | 26.15 | -46.61 | 53.44 | 299 | |
| M _M | 47.92 | 73.41 | -7.8 | 73.82 | 354 | |
| N _M | 20.41 | 0.28 | 0.64 | 0.7 | 66 | |
| W _M | 94.64 | -0.81 | 2.2 | 2.34 | 110 | |
| R _M | 39.92 | 58.74 | 27.99 | 65.07 | 25 | |
| J _M | 81.26 | -2.89 | 71.56 | 71.62 | 92 | |
| G _M | 52.23 | -42.42 | 13.6 | 44.55 | 162 | |
| B _M | 30.57 | 1.41 | -46.47 | 46.49 | 272 | |

Daten für Maximalfarbe (Ma):

$LAB^*LAB^*_{Ma}$: 56 -58 19

$LAB^*LCH^*_{Ma}$: 56 61 162

$lab^*rgb^*_{Ma}$: 0.0 1.0 0.0

$lab^*olv^*_{Ma}$: 0.0 1.0 0.12

Dreiecks-Helligkeit i^*

%Umfang

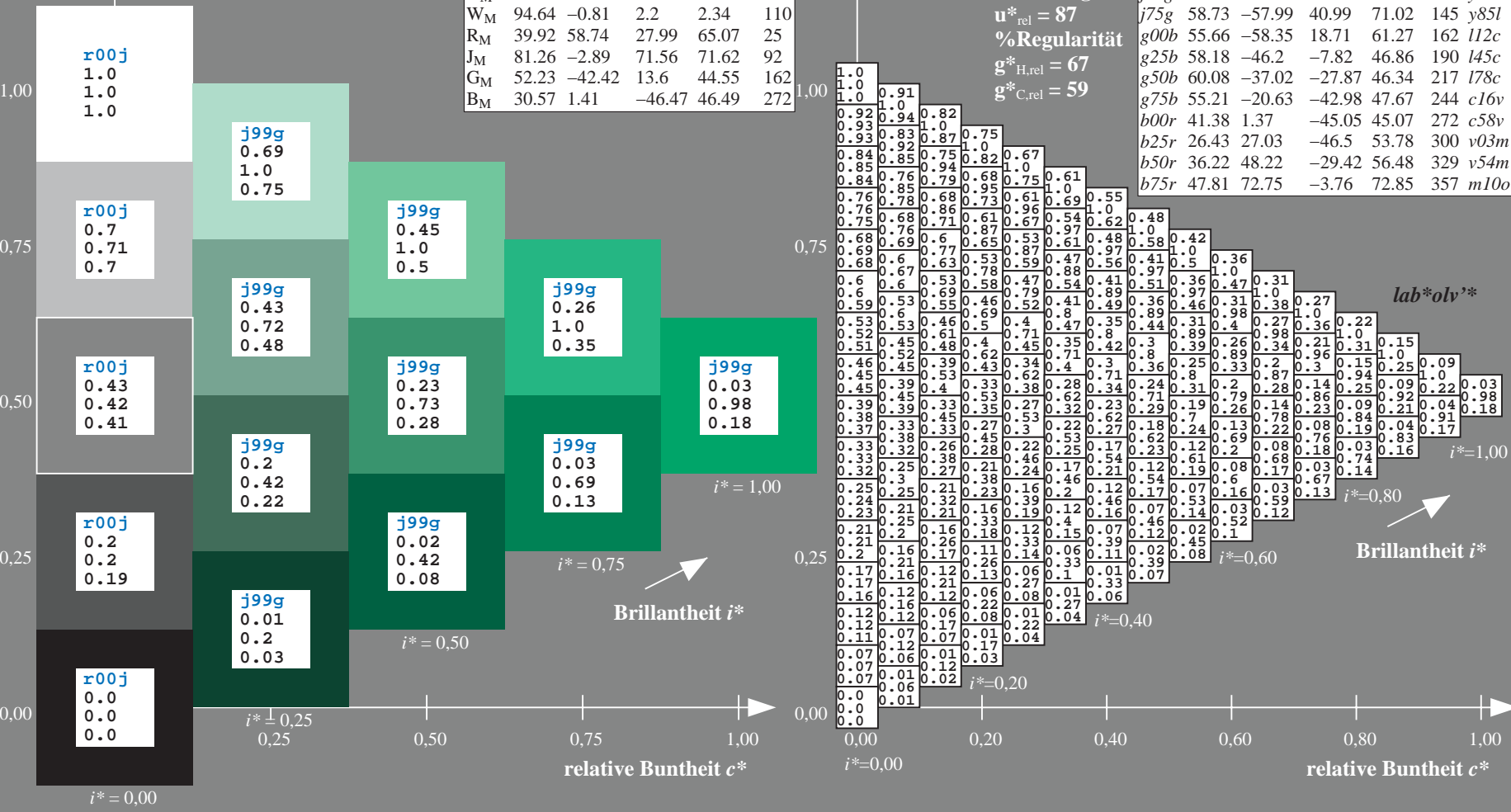
$u^*_{rel} = 87$

%Regularität

$g^*_{H,rel} = 67$

$g^*_{C,rel} = 59$

| ORS20_95a; adaptierte CIELAB-Daten | | | | | | | | |
|------------------------------------|---------|-------------|---------|---------|--------------|--------------|---------|--|
| | u^*_e | $L^*=L^*_a$ | a^*_a | b^*_a | $C^*_{ab,a}$ | $h^*_{ab,a}$ | u^*_d | |
| r00j | 47.06 | 67.41 | 32.12 | 74.67 | 25 | m84o | | |
| r25j | 53.95 | 53.38 | 48.38 | 72.04 | 42 | o17y | | |
| r50j | 63.6 | 35.87 | 59.45 | 69.43 | 59 | o42y | | |
| r75j | 73.37 | 18.14 | 70.66 | 72.95 | 76 | o68y | | |
| j00g | 85.24 | -3.4 | 84.28 | 84.35 | 92 | o93y | | |
| j25g | 78.53 | -25.99 | 72.23 | 76.76 | 110 | y24l | | |
| j50g | 68.25 | -42.61 | 56.0 | 70.37 | 127 | y51l | | |
| j75g | 58.73 | -57.99 | 40.99 | 71.02 | 145 | y85l | | |
| g00b | 55.66 | -58.35 | 18.71 | 61.27 | 162 | l12c | | |
| g25b | 58.18 | -46.2 | -7.82 | 46.86 | 190 | l45c | | |
| g50b | 60.08 | -37.02 | -27.87 | 46.34 | 217 | l78c | | |
| g75b | 55.21 | -20.63 | -42.98 | 47.67 | 244 | c16v | | |
| b00r | 41.38 | 1.37 | -45.05 | 45.07 | 272 | c58v | | |
| b25r | 26.43 | 27.03 | -46.5 | 53.78 | 300 | v03m | | |
| b50r | 36.22 | 48.22 | -29.42 | 56.48 | 329 | v54m | | |
| b75r | 47.81 | 72.75 | -3.76 | 72.85 | 357 | m10o | | |

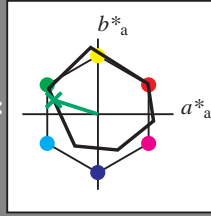


Siehe ähnliche Dateien: <http://www.ps.bam.de/Fg52/>; www.ps.bam.de/Fg52/10L/L52g00FP.PDF/.PS
 Technische Information: [http://www.ps.bam.de/Version 2.1, io=1,1, CIELAB, ColSpX=1](http://www.ps.bam.de/Version%202.1,%20io=1,1,CIELAB,%20ColSpX=1)

BAM-Registrierung: 20081001-Fg52/10L/L52g00FP.PDF/ .PS BAM-Material: Code=rh4ta
 Anwendung für Beurteilung und Messung von Drucker- oder Monitorssystemen

Ein und Ausgabe: Farbmatisches Drucker-Reflektiv-System ORS20_95, L*=20_95 für relativen CIELAB-Bunnton $h^* = lab^*h^* = h_{ab}^*/360 = 0.451$ $u^*_e = g00b$
 Daten für jede Farbe: lab^*tch^* und lab^*icu^* **LAB*cmyn****

Bunntontexte:
 $u^*_e = g00b$ $u^*_d = l12c$
 Kontrastreduzierungsfaktor:
 $c_R = 1.0$
 Dreiecks-Helligkeit t^*



ORS20_95a; CIELAB-Daten

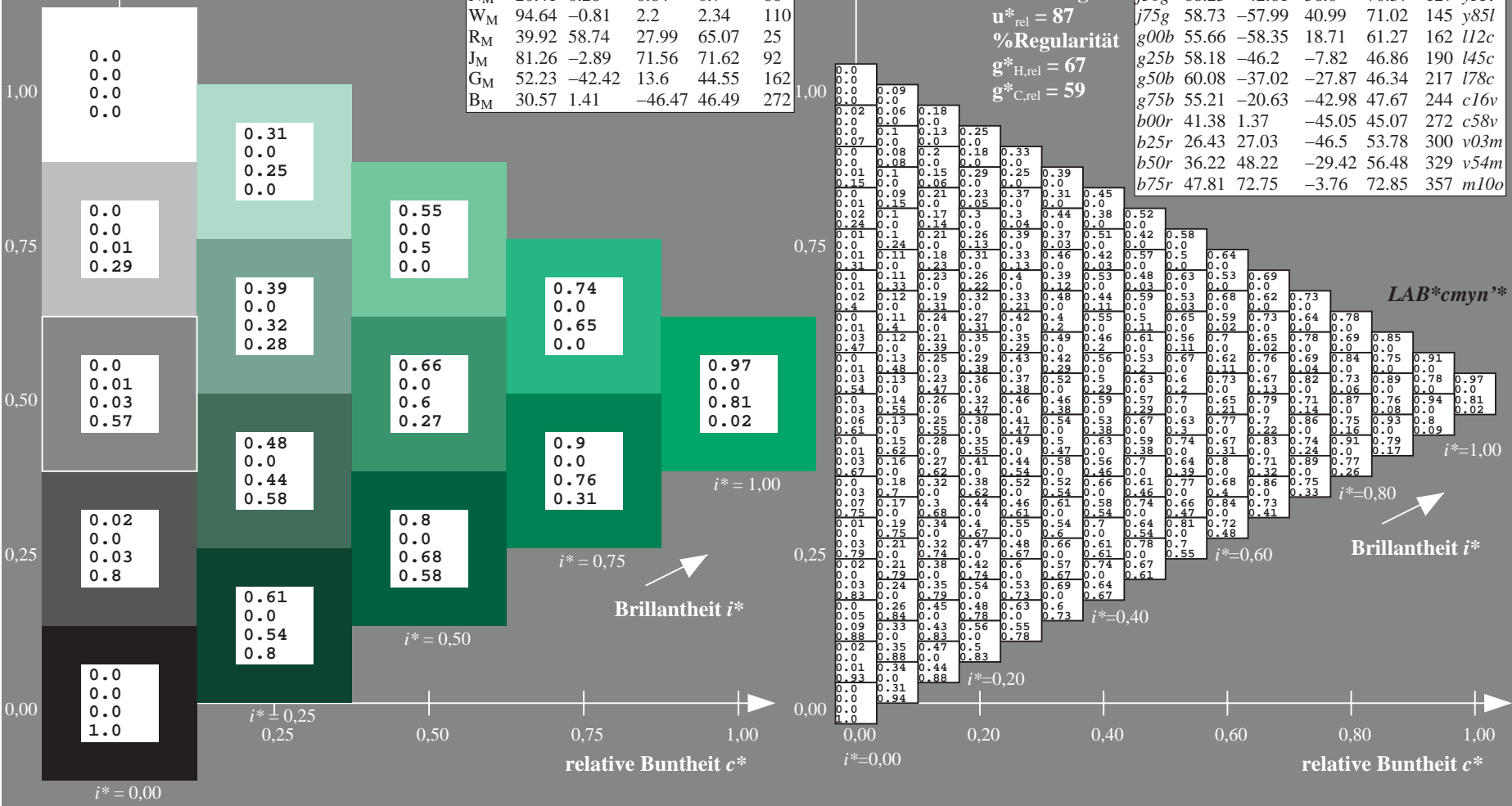
| u^*_e | $L^*=L^*_a$ | a^* | b^* | C^*_{ab} | h^*_{ab} |
|----------------|-------------|--------|--------|------------|------------|
| O _M | 46.89 | 66.08 | 41.48 | 78.02 | 32 |
| Y _M | 88.66 | -10.34 | 90.28 | 90.87 | 97 |
| L _M | 54.22 | -65.51 | 35.22 | 74.38 | 152 |
| C _M | 61.43 | -30.85 | -40.54 | 50.94 | 233 |
| V _M | 25.93 | 26.15 | -46.61 | 53.44 | 299 |
| M _M | 47.92 | 73.41 | -7.8 | 73.82 | 354 |
| N _M | 20.41 | 0.28 | 0.64 | 0.7 | 66 |
| W _M | 94.64 | -0.81 | 2.2 | 2.34 | 110 |
| R _M | 39.92 | 58.74 | 27.99 | 65.07 | 25 |
| J _M | 81.26 | -2.89 | 71.56 | 71.62 | 92 |
| G _M | 52.23 | -42.42 | 13.6 | 44.55 | 162 |
| B _M | 30.57 | 1.41 | -46.47 | 46.49 | 272 |

Daten für Maximalfarbe (Ma):
 $LAB^*LAB^*_Ma: 56 -58 19$
 $LAB^*LCH^*_Ma: 56 61 162$
 $lab^*rgb^*_Ma: 0.0 1.0 0.0$
 $lab^*olv^*_Ma: 0.0 1.0 0.12$
 Dreiecks-Helligkeit t^*

ORS20_95a; adaptierte CIELAB-Daten

| u^*_e | $L^*=L^*_a$ | a^*_a | b^*_a | $C^*_{ab,a}$ | $h^*_{ab,a}$ | u^*_d |
|---------|-------------|---------|---------|--------------|--------------|---------|
| r00j | 47.06 | 67.41 | 32.12 | 74.67 | 25 | m84o |
| r25j | 53.95 | 53.38 | 48.38 | 72.04 | 42 | o17y |
| r50j | 63.6 | 35.87 | 59.45 | 69.43 | 59 | o42y |
| r75j | 73.37 | 18.14 | 70.66 | 72.95 | 76 | o68y |
| j00g | 85.24 | -3.4 | 84.28 | 84.35 | 92 | o93y |
| j25g | 78.53 | -25.99 | 72.23 | 76.76 | 110 | y24l |
| j50g | 68.25 | -42.61 | 56.0 | 70.37 | 127 | y51l |
| j75g | 58.73 | -57.99 | 40.99 | 71.02 | 145 | y85l |
| g00b | 55.66 | -58.35 | 18.71 | 61.27 | 162 | l12c |
| g25b | 58.18 | -46.2 | -7.82 | 46.86 | 190 | l45c |
| g50b | 60.08 | -37.02 | -27.87 | 46.34 | 217 | l78c |
| g75b | 55.21 | -20.63 | -42.98 | 47.67 | 244 | c16v |
| b00r | 41.38 | 1.37 | -45.05 | 45.07 | 272 | c58v |
| b25r | 26.43 | 27.03 | -46.5 | 53.78 | 300 | v03m |
| b50r | 36.22 | 48.22 | -29.42 | 56.48 | 329 | v54m |
| b75r | 47.81 | 72.75 | -3.76 | 72.85 | 357 | m10o |

%Umfang
 $u^*_{rel} = 87$
 %Regularität
 $g^*_{H,rel} = 67$
 $g^*_{C,rel} = 59$



Siehe ähnliche Dateien: <http://www.ps.bam.de/Fg52/>; www.ps.bam.de/Fg.HTM
 Technische Information: <http://www.ps.bam.de/Version.2.1,io=1,1,CIELAB,ColSpX=1>

BAM-Registrierung: 20081001-Fg52/10L/L52g00FP.PDF/ .PS BAM-Material: Code=rh4ta
 Anwendung für Beurteilung und Messung von Drucker- oder Monitorssystemen